

# 10. Schwache Wechselwirkung

## Leptonfamilien

geladene Leptonen:

	$e^+$	$\mu^+$	$\tau^+$	
Masse	0.5	105	1777	MeV
$\tau$	$\infty$	2 $\mu$ s	0.3 ps	

$$\mu^+ \rightarrow e^+ \bar{\nu}_\mu \nu_e$$

aber nicht:  $\mu^+ \rightarrow e^+ \gamma$

$$\left( \frac{\Gamma(\mu \rightarrow e \gamma)}{\Gamma(\mu \rightarrow \text{alle})} < 5 \cdot 10^{-11} \right)$$

$$\tau^+ \rightarrow e^+ \nu_e \bar{\nu}_\tau$$

$$\rightarrow \mu^+ \nu_\mu \bar{\nu}_\tau$$

$$\rightarrow \pi^+ \bar{\nu}_e$$

$$\rightarrow \rho^+ \bar{\nu}_e$$

$$\rightarrow a_1^+ \bar{\nu}_e$$

> 50% zerfall in  
Hadronen  
energetisch möglich

Identität des Neutrinos:  
Kopplung an geladene Leptonen:  
 $n \rightarrow p + e^- + \bar{\nu}_e$

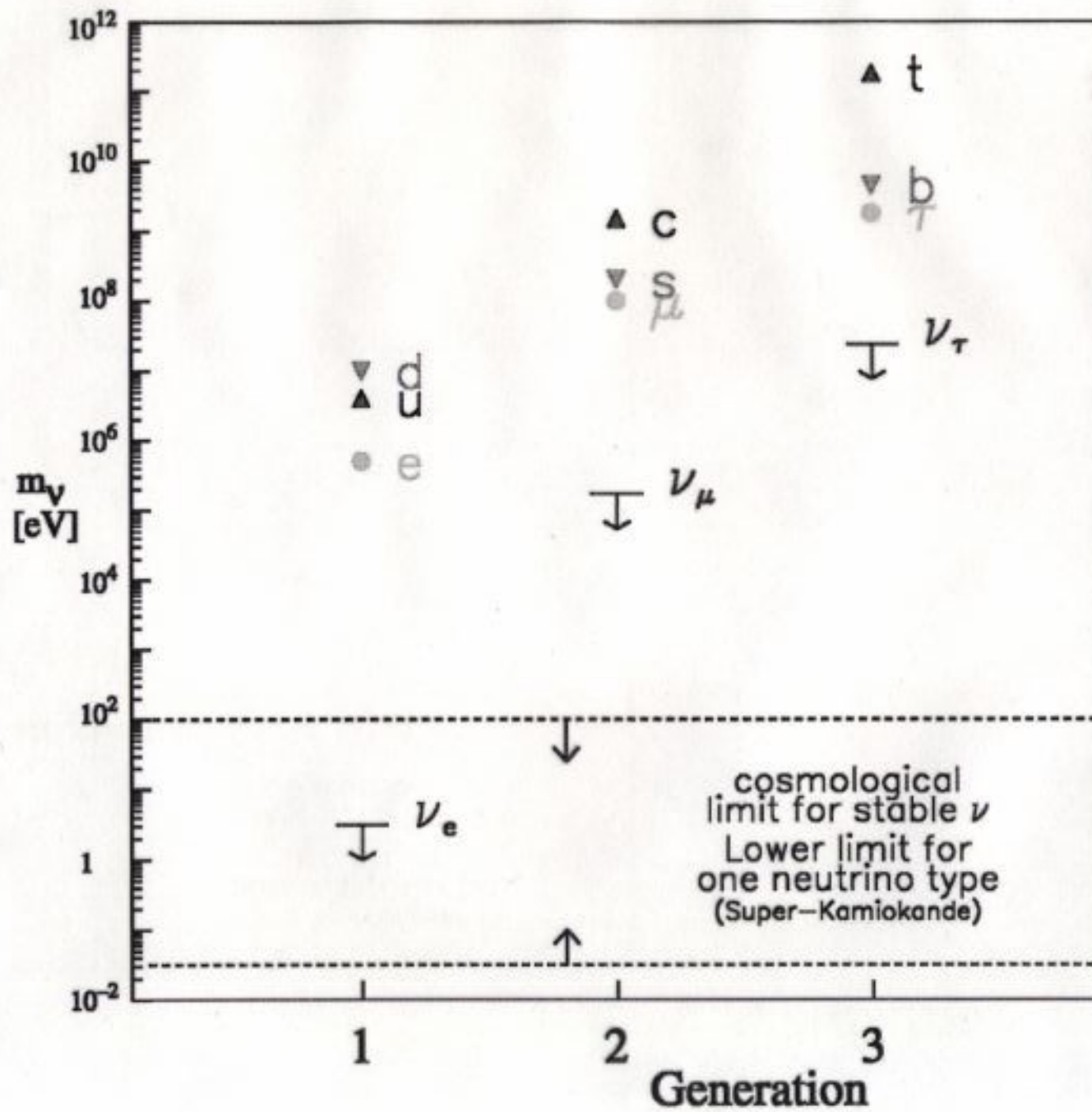
$$\bar{\nu}_e + p \rightarrow n + e^+$$

$$\bar{\nu}_e + n \rightarrow p + e^-$$

$e^-$  und  $\bar{\nu}_e$  sind gekoppelt  
 $e^+$  und  $\nu_e$  sind gekoppelt  
10-1

Leptonfamilien  
Schwache Prozesse  
geladene und neutrale  
Ströme

Quarkmischung  
Paritätsverletzung  
↳ 11. Symmetrien

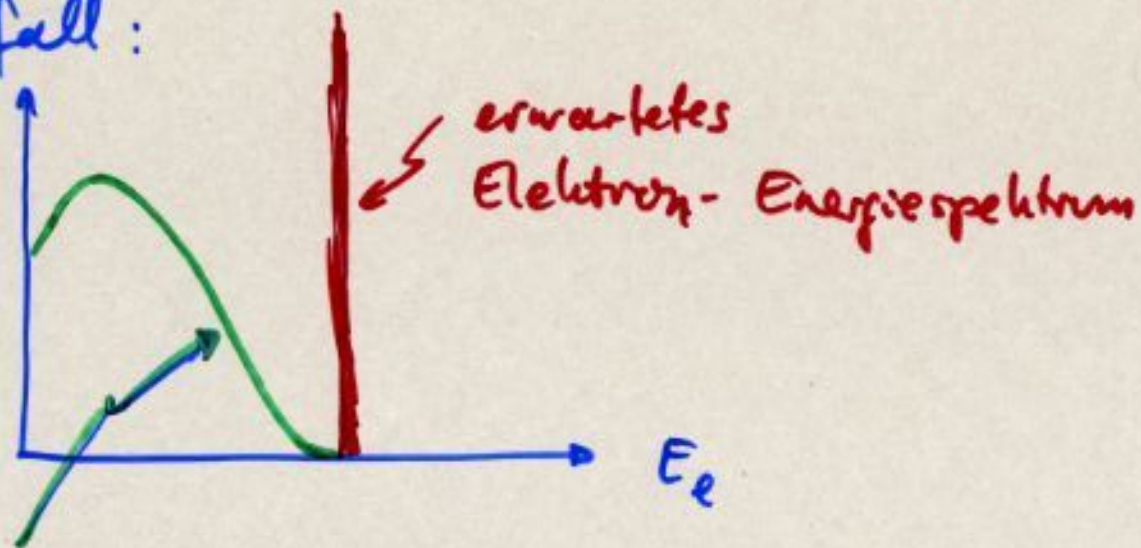


"Erfindung des Neutrinos"

Pauli 1930

2-Körper-Endzustand: Impulse der Zerfallsteilchen im Schwerpunktsystem eindeutig festgelegt

$\beta$ -Zerfall:

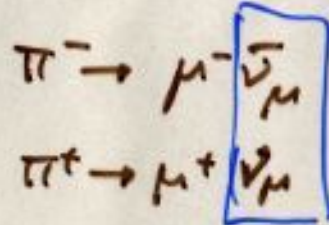


beobachtetes Energiespektrum

- Möglichkeiten:
1. Energiesatz ist nicht gültig
  2. Es wird ein 3., unobservierbares Teilchen erzeugt. Kann Spektrum erklären!

Pauli 1930: Möglichkeit 2

Verschiedenheit von  $\nu_\mu, \nu_e$ :



↑  
diese Neutrinos induzieren bei  
Absorption stets nur  $\mu^\pm$ , nie  $e^\pm$

→ Existenz von 2 Neutrinosorten

Steinberger, Schwartz, Lederman 1962

Inzwischen, Es gibt 3 Neutrino-Familien

- 1) LEP: Form der  $Z^0$ -Resonanz
- 2) Urknall-Nukleosynthese

Leptonzahl-Erhaltung (für jede Familie individuell)

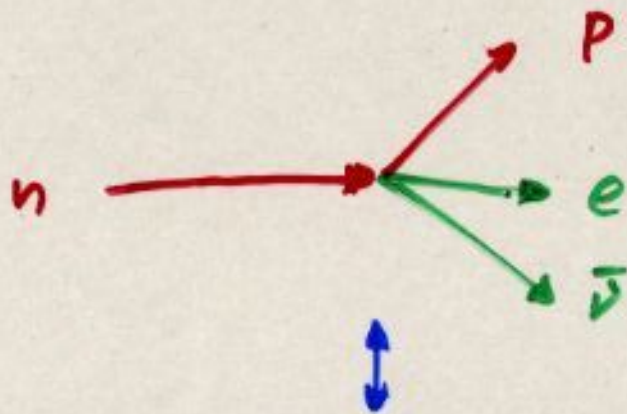
$$L_l = N(l) - N(\bar{l}) + N(\nu_l) - N(\bar{\nu}_l) \quad l = e, \mu, \tau$$

Gesamt-Leptonzahl:  $L = L_e + L_\mu + L_\tau$

(L wird durch seit einigen Jahren beobachteten Neutrino-Oszillationen verletzt)

## Schwache Prozesse:

historisch: Fermi - 4 - Fermion - Wechselwirkung:



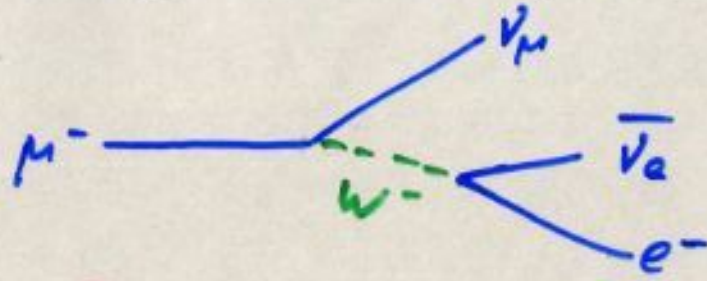
punktförmiger Vertex, an dem ein Neutron vernichtet und ein Proton, ein Elektron und ein Antineutrino erzeugt werden.

Kopplungskonstante:  $G_F = 1.2 \cdot 10^{-5} \text{ GeV}^{-2} \cdot (\hbar c)^3$

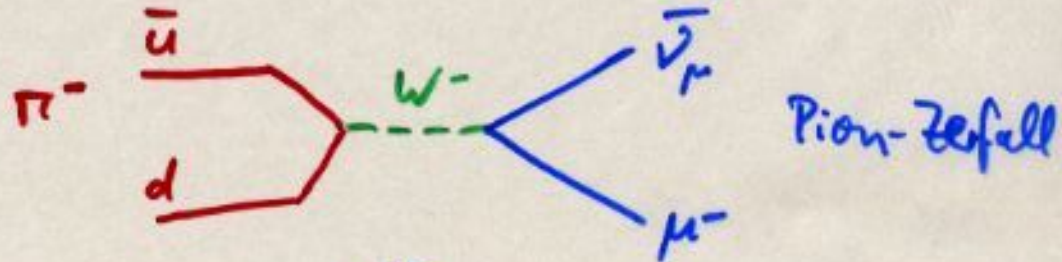
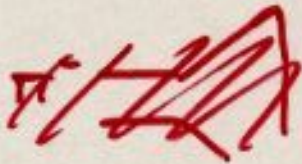
(Fermi - Kopplungskonstante, klein!)

Heute: Austausch von schweren Vektorbosonen  $W^\pm, Z^0$

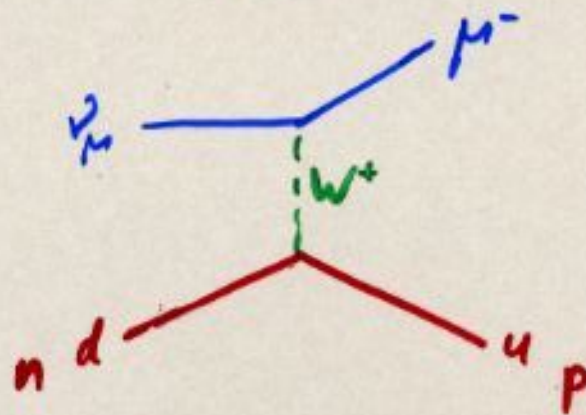
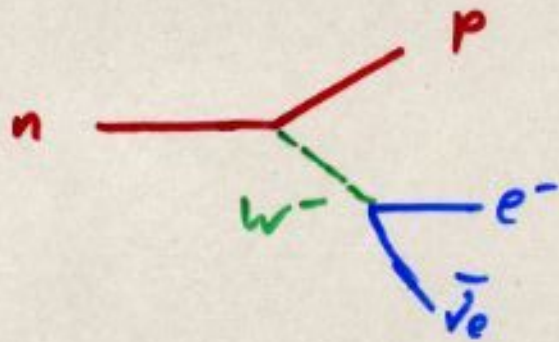
geladener Strom: leptonischer Prozess:



semileptonischer Prozess

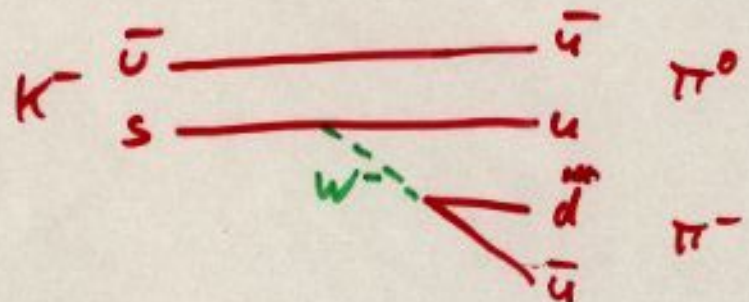
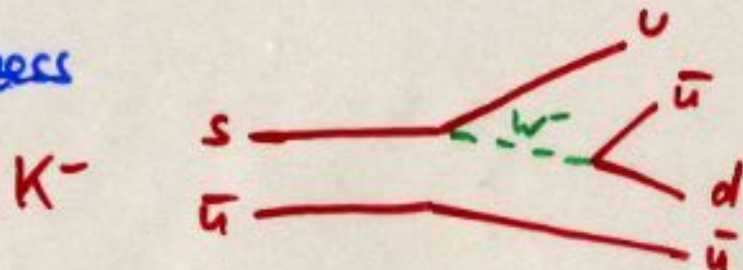


Pion-Zerfall

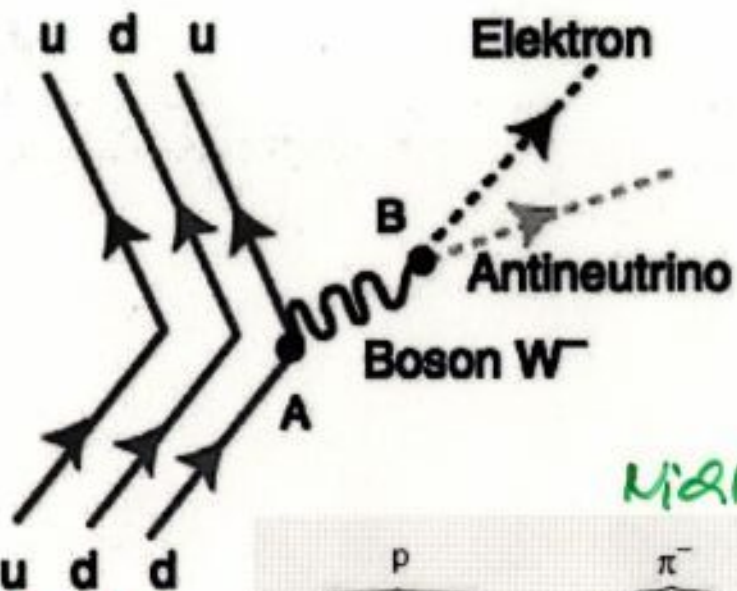


Neutrino-Streuung am Neutron

nichtleptonischer Prozess

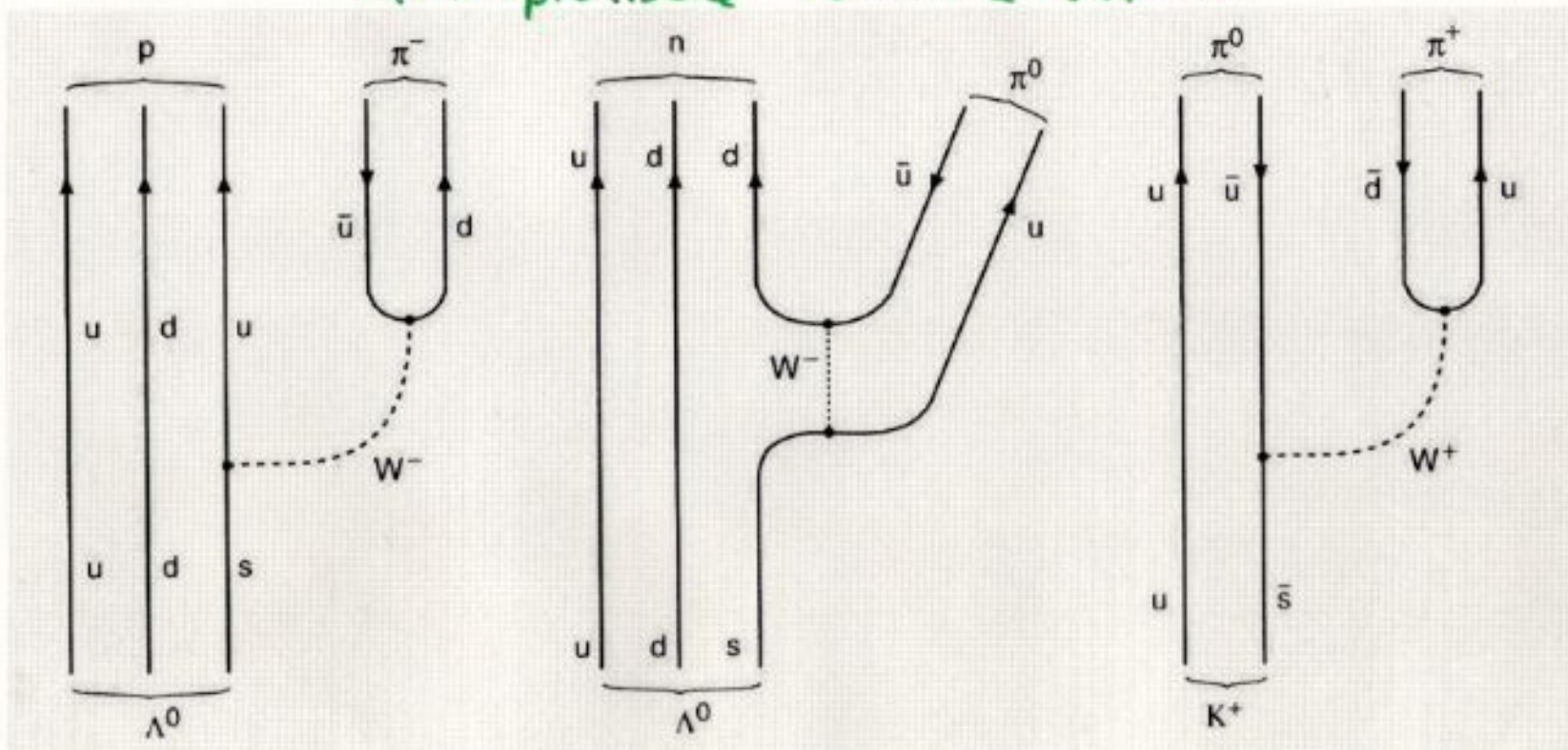


Neutron-Zerfall:  
 semi-leptonischer Prozess



Nichtleptonische schwache Zerfälle:

„Zuschauer“  
 Spectator-  
 quarks



$\Lambda \rightarrow p \pi$

$\Lambda \rightarrow n \pi^0$

$K^+ \rightarrow \pi^+ \pi^0$

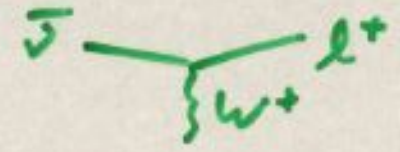
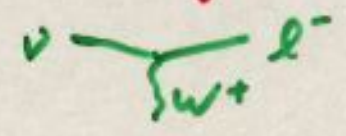
Neutrino-Reaktionen:  $\nu + N \rightarrow l + X$

$\nu$  erzeugen immer negative Leptonen

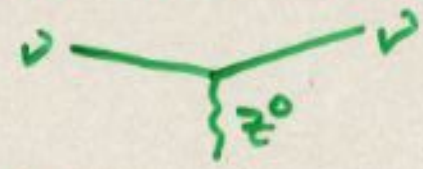
$\nu$  aus  $\pi^+$ -Zerfall erzeugen immer  $\mu$ -Leptonen

$\nu$  aus  $n$ -Zerfall erzeugen immer Elektronen (bzw. Positronen)

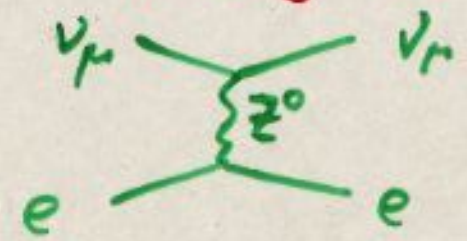
geladene Ströme:



Neutrale Ströme: Es wurden auch Reaktionen ohne geladenes Lepton beobachtet



auch elastische Neutrino-Streuung an Elektronen:



(plötzlich auftretende Spur, Hüllenelektron vorher in Ruhe)  
hervangerufen

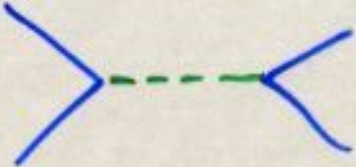
Neutrale Ströme werden durch  $Z^0$ -Austausch

# Kopplung über schwache Ströme

Analog zu Mott-Streuung und  $e^+e^-$ -Kollisionen:

weaker

Matrixelement:  $M_{fi}^W \propto g \cdot \frac{1}{Q^2 + M_W^2} \cdot g$



$\underbrace{Q^2 + M_W^2}_{W\text{-Propagator}}$

Kopplung bei W-Emission

Kopplung bei W-Absorption

massives Austauschteilchen  
 $M_W \approx 80 \text{ GeV}$

Grenzfall  $Q^2$  klein ( $\ll M_W^2$ ):

$$M_{fi}^W \xrightarrow[\text{klein}]{Q^2} \frac{g^2}{M_W^2} \approx \text{konstant und klein}$$

→ schwache Wechselwirkung erscheint bei kleinen  $Q^2$  sehr viel schwächer als e.m. Wechselwirkung

Reichweite der schwachen WW:  $\approx \frac{\hbar}{M_W} \approx 2.5 \cdot 10^{-3} \text{ fm}$

→ fast punktförmig wie in Fermi-Theorie

Zusammenhang zwischen  $G_F$  und  $g, M_W$ :

$$\frac{G_F}{\sqrt{2}} = \frac{\pi \alpha}{2} \frac{g^2}{e^2} \frac{(\hbar c)^3}{M_W^2 c^4}$$

Wert z.B. aus  $\mu$ -Zerfall erhältlich:

$$\mu^- \rightarrow e^- \bar{\nu}_e \nu_\mu$$



Goldene Regel, Dirac-Gleichung, Phasenraum  $\Rightarrow$

$$\Gamma_\mu = \frac{1}{\tau_\mu} = \frac{G_F^2}{192 \pi^3 (\hbar c)^6} \cdot (m_\mu c^2)^5 (1 + \epsilon)$$

$\hookrightarrow$  kleine Korrekturen

$$\Rightarrow \tau \propto m^{-5}$$

$$\Rightarrow \frac{G_F}{(\hbar c)^3} = 1.2 \cdot 10^{-5} \text{ GeV}^{-2}$$

Neutrino-Elektron-Streuung:  $\nu_\mu e \rightarrow \mu \nu_e$  via  $W^+$ -Austausch

Wirkungsquerschnitt:  $\sigma \propto G_F^2$ ,  $\sigma \propto s$

$$\sigma = \frac{G_F^2 \cdot s}{\pi (\hbar c)^4}, \quad s = 2 m_e c^2 E_\nu$$

$$\sigma = 1.7 \cdot 10^{-41} \text{ cm}^2 \cdot \frac{E_\nu}{\text{GeV}}$$

$\sigma \rightarrow \infty$  für  $s \rightarrow \infty$  kann asymptotisch nicht richtig sein  $\rightarrow$   $W$ -Propagator:

$$\sigma = \frac{G_F^2}{\pi (\hbar c)^4} \cdot \frac{M_W^2 \cdot c^4 \cdot s}{s + M_W^2 c^4} \Rightarrow \text{Konst.}$$

Neutrino-Energie im Laborsystem  $\updownarrow$

sehr kleiner WQ  
Reichweite von  
solaren  $\nu$  mit  $\sim$  MeV:  
 $\hat{=}$  30 Lichtjahre in Fe



## Quark-Mischung

**Beobachtung:** einige semileptonische Kopplungen erscheinen kleiner als im  $\mu$ -Zerfall:

4% im  $n$ -Zerfall  $d \rightarrow u$

$\frac{1}{20}$  im  $\Lambda^0$ -Zerfall  $s \rightarrow u$

Leptonen: wandeln sich durch  $W$ -Austausch innerhalb der Familie um:

$$\begin{pmatrix} e \\ \nu_e \end{pmatrix} \quad \begin{pmatrix} \mu \\ \nu_\mu \end{pmatrix} \quad \begin{pmatrix} \tau \\ \nu_\tau \end{pmatrix}$$

Quarks: Es gibt auch Übergänge zwischen den Familien (mit reduzierter Stärke): Universalität von  $g$  aufgeben?

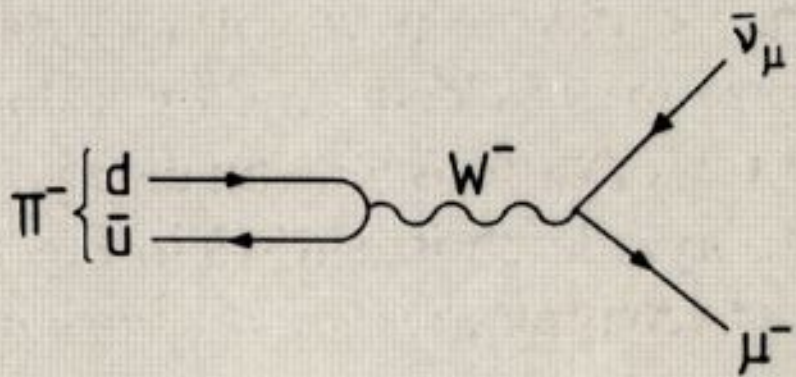
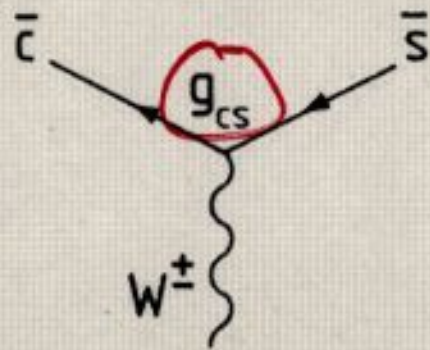
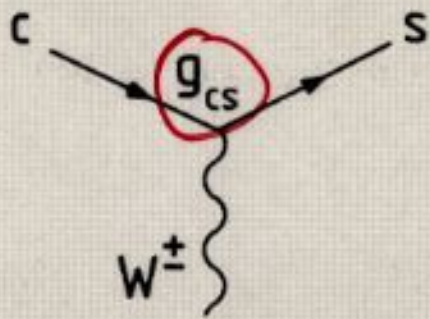
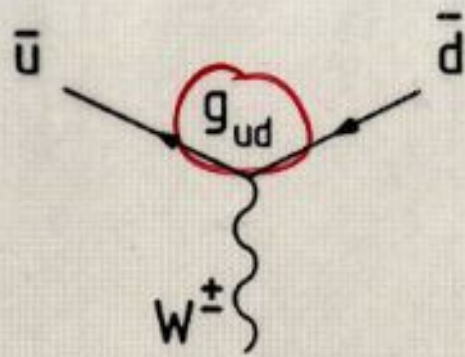
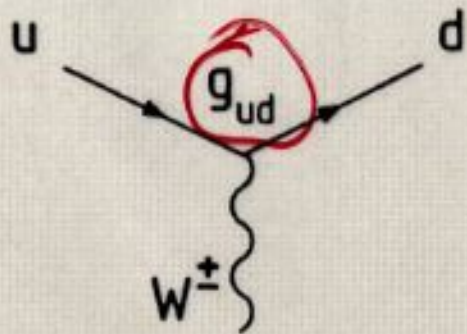
$$q = \frac{2}{3} \rightarrow \begin{pmatrix} u \\ d \end{pmatrix} \quad \begin{pmatrix} c \\ s \end{pmatrix} \quad ; \quad \begin{pmatrix} t \\ b \end{pmatrix}$$

$$q = -\frac{1}{3} \rightarrow$$

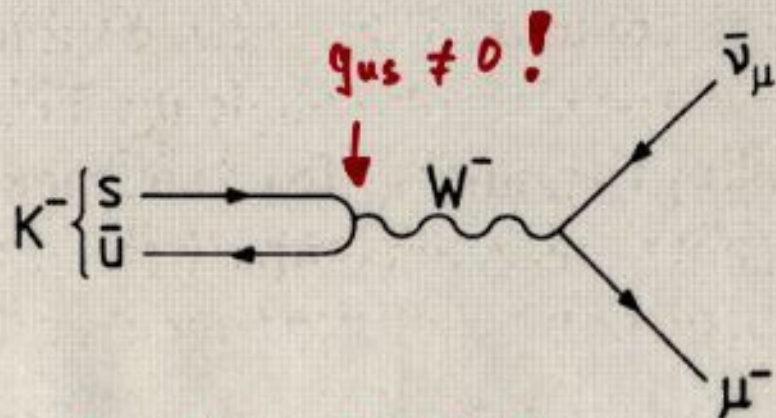
zunächst zu ignorieren..

Cabibbo 1963:  $g$  ist universell.  $W$  koppelt an „gedrehte“ Quarkzustände  
 $\Rightarrow$  Cabibbo-Winkel  $\theta_c \approx 22^\circ$

Basisdiagramme  
mit  $W^\pm$ -Vertices  
ohne Quarkmischung



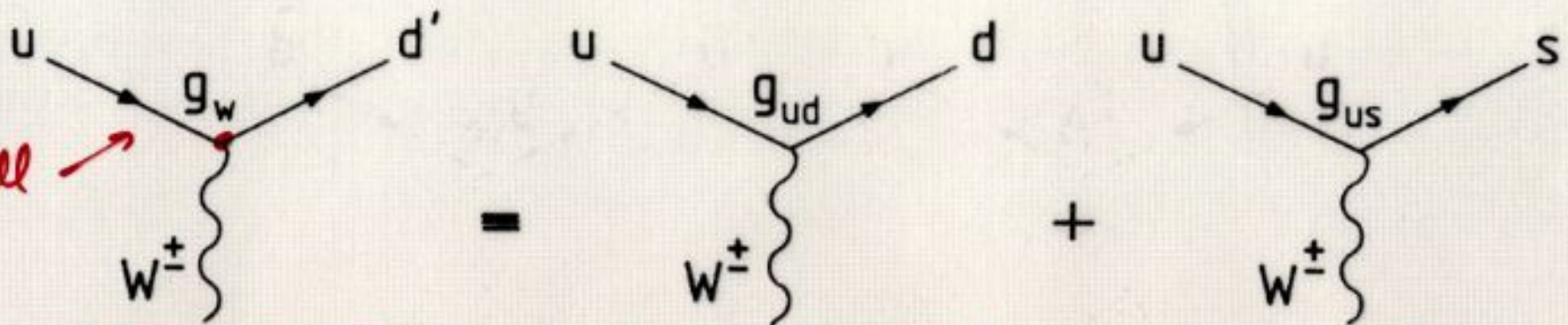
können Pion-Zerfall. beschreiben



aber Kaon-Zerfall nicht  
(beobachtet, lange Lebensdauer)

„Gedrehte“ Quarkzustände :  $u d' W$ -Vertex

universell  $\rightarrow$



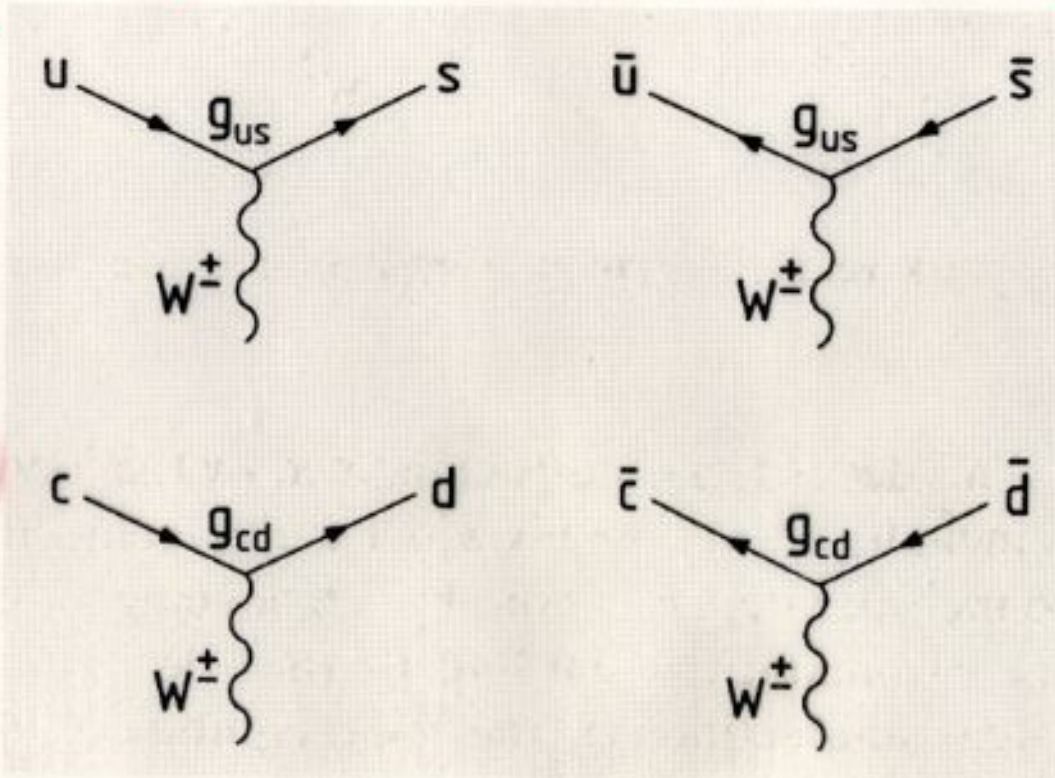
$$d' = d \cos \theta_c + s \sin \theta_c$$

$\Rightarrow$

$$g_{ud} = g_w \cos \theta_c$$

$$g_{us} = g_w \sin \theta_c$$

Damit sind auch diese Diagramme möglich (aber Kopplung mit  $\sin \theta_c$  unterdrückt!)



$\leftarrow$  z.B. Kaon-Zerfall

u koppelt an Linearkombination von d und s  
c koppelt an Linearkombination von s und d

Mit Quarkmischung treten neben u-d und c-s  
Übergängen auch u-s und c-d Übergänge auf.

W koppelt an  $\begin{pmatrix} u \\ d' \end{pmatrix}$  oder  $\begin{pmatrix} c \\ s' \end{pmatrix}$   $\left[ \text{oder } \begin{pmatrix} t \\ b' \end{pmatrix} \right]$

mit der gedrehten Basis:

$$d' = d \cos \theta_c + s \sin \theta_c$$

$$s' = -d \sin \theta_c + s \cos \theta_c$$

oder 
$$\begin{pmatrix} d' \\ s' \end{pmatrix} = \begin{pmatrix} \cos \theta_c & \sin \theta_c \\ -\sin \theta_c & \cos \theta_c \end{pmatrix} \cdot \begin{pmatrix} d \\ s \end{pmatrix}$$



Eigenzustände  
der schwachen  
Wechselwirkung

≠

↑  
Eigenzustände  
der starken  
WW

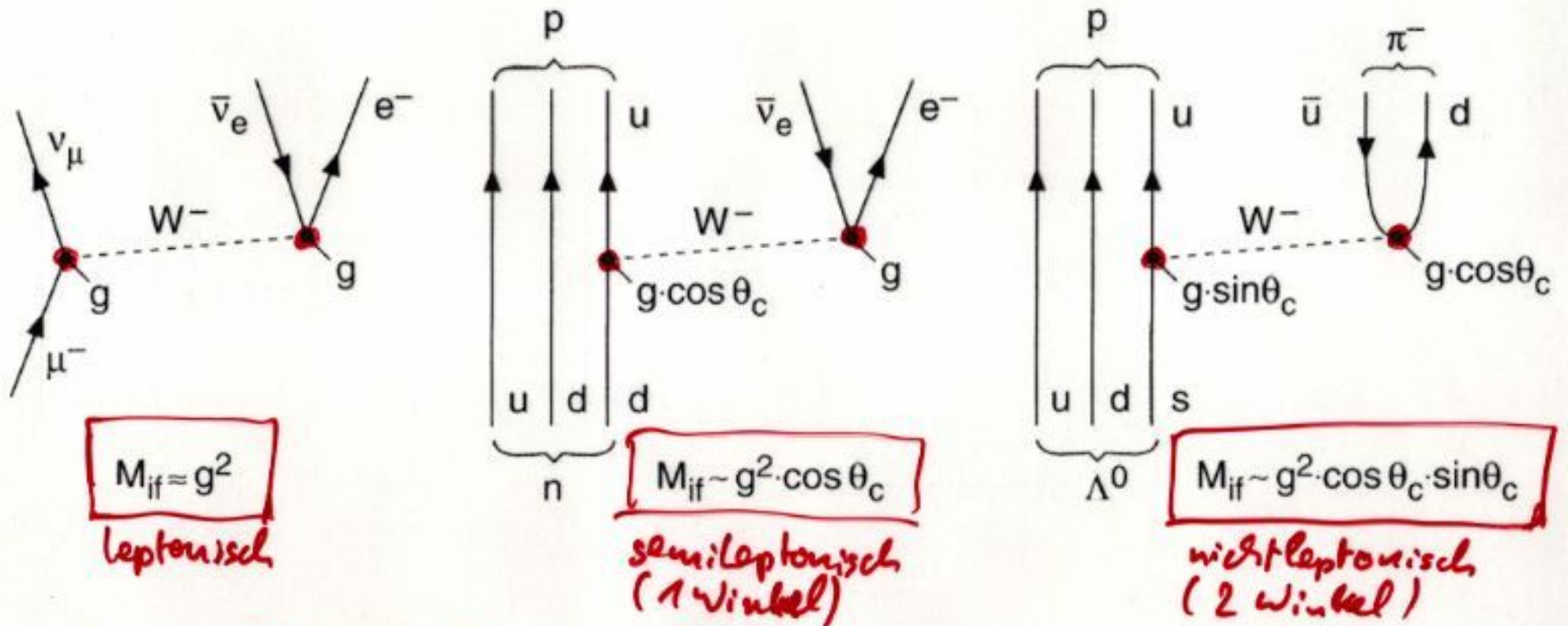
⇓  
neue effektive Kopplungen:

$$g_{ud} = g_{cs} = g \cdot \cos \theta_c$$

$$g_{us} = -g_{cd} = g \cdot \sin \theta_c$$

erfordern nur einen neuen Parameter  
 $\theta_c = \text{Cabibbo-Winkel}$

# Experimentelle Bestimmung des Cabibbo-Winkels aus Lebensdauern und Verzweigungsverhältnissen



Beispiele:  $\frac{\Gamma(K^- \rightarrow \mu^- \bar{\nu})}{\Gamma(\pi^- \rightarrow \mu^- \bar{\nu})} \propto \frac{g_{us}^2}{g_{ud}^2} = \tan^2 \theta_c \approx \frac{1}{20}$ , Cabibbo-unterdrückt

$\frac{n\text{-Zerfall}}{\mu\text{-Zerfall}} \propto \frac{g_{ud}^2}{g^2} = \cos^2 \theta_c \Rightarrow$

$\sin \theta_c \approx 0.22$   
 $\cos \theta_c \approx 0.98$   
 $\theta_c = 12.7^\circ$

Erweiterung auf 3 Familien  
 2x2 Cabibbo-Matrix  $\Rightarrow$  3x3 Cabibbo-Kobayashi-Maskawa-Matrix  
 CKM-Matrix 1973

Diagonalelemente  $\approx 1$   
 $|V_{cb}|$  und  $|V_{cs}|$  fast 10 mal kleiner als  $|V_{us}|, |V_{cd}| \Rightarrow 10^{-2}$  in Raten  
 2.-3. Fam. 1.-2. Fam.

$$\begin{pmatrix} |d'\rangle \\ |s'\rangle \\ |b'\rangle \end{pmatrix} = \begin{pmatrix} V_{ud} & V_{us} & V_{ub} \\ V_{cd} & V_{cs} & V_{cb} \\ V_{td} & V_{ts} & V_{tb} \end{pmatrix} \cdot \begin{pmatrix} |d\rangle \\ |s\rangle \\ |b\rangle \end{pmatrix}$$

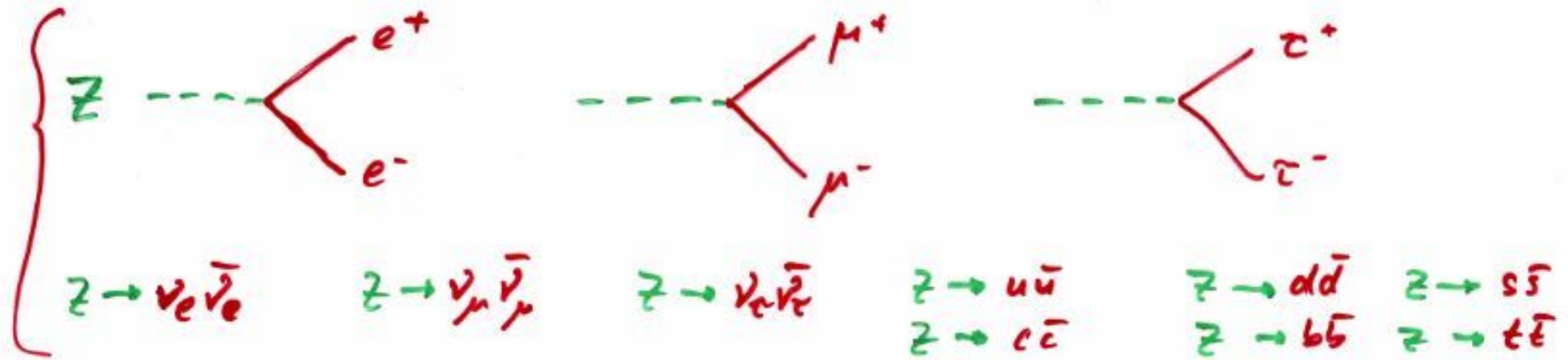
1.-3. Fam. 1. & 2. Fam.  
 sehr kleine Mischung

$$\left( |V_{ij}| \right) = \begin{pmatrix} 0.9745 \dots 0.9760 & 0.217 \dots 0.224 & 0.0018 \dots 0.0045 \\ 0.217 \dots 0.224 & 0.9737 \dots 0.9753 & 0.036 \dots 0.042 \\ 0.004 \dots 0.013 & 0.035 \dots 0.042 & 0.9991 \dots 0.9994 \end{pmatrix}$$

Elemente von  $V_{cb}$  komplex  $\Rightarrow$  CP-Verletzung möglich  
 siehe später

Neutrale Ströme koppeln nur flavour-diagonal,  
 d.h. es gibt keine FCNC (flavour changing neutral currents)

existieren



ABER:

- $Z \rightarrow e^+ \mu^-$
- $Z \rightarrow e^+ \tau^-$
- $Z \rightarrow u \bar{c}$
- $Z \rightarrow \nu_e \bar{\nu}_\mu$
- $Z \rightarrow d \bar{b}$
- $Z \rightarrow t \bar{u}$

existieren nicht!